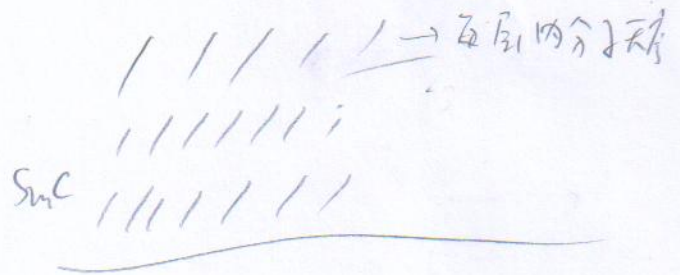
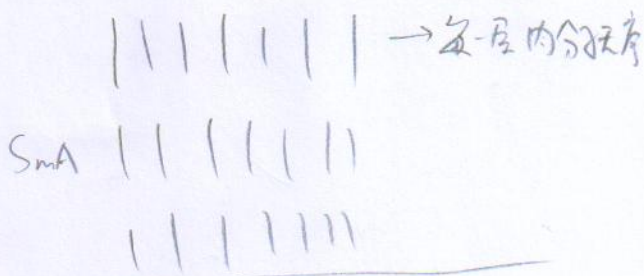


# 第八章 液晶

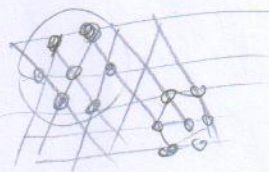
液晶: 液体 + 晶体? 分子长程取向有序, 因此分子必须各向异性(棒状或盘状)

液晶分类 { 热致液晶相 (thermotropic liquid crystal phase)  
 : 有分子加热, 从固晶相熔化成液晶相, 高温下变成各向同性液体  
 溶致液晶相 (lyotropic LC)  
 : 溶液中高浓度分子形成取向

热致液晶相 { 向列相 (nematic phase): 空间没有位置有序, 长程取向有序  
 正晶相 (smectic phase) {  $S_{mA}$ : 层状相, 层内分子空间有序, 分子垂直面  
 $S_{mC}$ : 层状相, 分子与面有倾角



$S_{mB}$ , 类似A, 但从上面看每层内还有



六角结构, 但长程则没有平移有序

$S_{mI}$ , 与  $S_{mB}$  类似, 不过每一层内分子倾斜取向

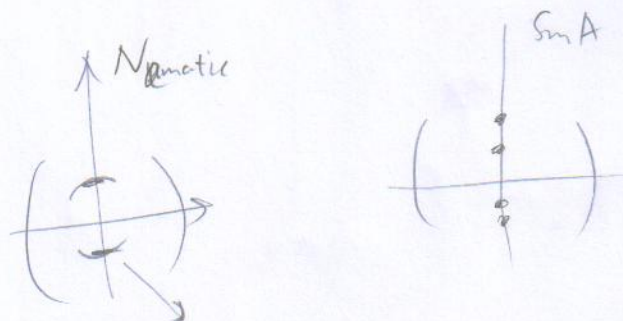
液晶相的识别:

Xrd: 液晶相的周期性产生 Bragg 点

结构: 偏光显微镜

向列相的取向导致液晶织构一种缺陷

正晶相有“扇形”织构



这种谱的弧出现表明局部正晶有序 (团聚)



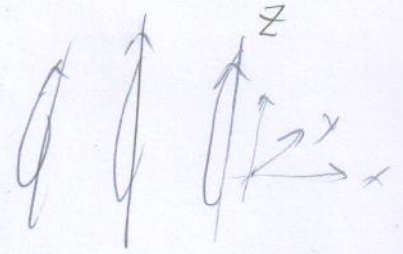
# 8.1 液晶序参量

①

液体: 各向同性, 位置无序, 方向无序

固体: 各向异性, 位置有序, 方向有序

液晶相: 结合上述有序无序, 位置无序而取向有序。位置可以一维或二维有序, 但不能三维有序。



例子: 5CB



polar 相

A) 全指向上方

Nematic 相

B) 一半指向上, 一半指向下

无序相: 箭头向各个方向

有序相: 箭头指向上或下的概率大

## ① Nematic 序参量

每个分子的取向用一个单位向量  $\hat{l}$  来表示,  $\hat{l} = l_x \hat{i} + l_y \hat{j} + l_z \hat{k}$

如何构造一个合适的序参量来描述其各向异性?

先尝试  $\vec{M} = \langle \hat{l} \rangle$ ,  $M_x = l_x$

在无序相,  $M_x = 0$ , 对 A 情况,  $M \neq 0$ , 而对 B 情况,  $M = 0$  不适用!

序参量必须体现向上与向下的贡献不能取消!

合适的如:  $\overleftrightarrow{T} = \langle \hat{l} \hat{l} \rangle$ ,  $T_{\alpha\beta} = \langle l_\alpha l_\beta \rangle$

对无序相:  $T_{xx} = \langle l_x^2 \rangle$ ,  $T_{yy} = \langle l_y^2 \rangle$ ,  $T_{zz} = \langle l_z^2 \rangle$ , 由于  $\langle l_x^2 \rangle = \frac{1}{3} \langle l^2 \rangle = \frac{1}{3}$

而  $T_{xy} = \langle l_x l_y \rangle = 0$ , 交叉分量均为 0, x, y, z 相互独立。

所以各向同性相:

$$T_{\alpha\beta} = \begin{pmatrix} \frac{1}{3} & 0 & 0 \\ 0 & \frac{1}{3} & 0 \\ 0 & 0 & \frac{1}{3} \end{pmatrix} = \frac{1}{3} \delta_{\alpha\beta}$$

完全 nematic 相全指上或下,  $\hat{l} = \pm \hat{k}$

$$T_{\alpha\beta} = \begin{pmatrix} 0 & 0 & 0 \\ 0 & 0 & 0 \\ 0 & 0 & 1 \end{pmatrix}$$

①



$T_{\alpha\beta}$  解已分各向同性相与完美取向相。

(一) 可作进一步简化! 让序参量在各向同性相为0更合适。

$$\text{令 } T_{\alpha\beta}' = T_{\alpha\beta} - \frac{1}{3}\delta_{\alpha\beta} \Rightarrow \begin{cases} T_{\alpha\beta}' = 0 & \text{在各向同性相} \\ T_{\alpha\beta}' = \begin{pmatrix} -\frac{1}{3} & 0 & 0 \\ 0 & -\frac{1}{3} & 0 \\ 0 & 0 & \frac{2}{3} \end{pmatrix} & \text{在完美取向相} \end{cases}$$

(二) 为更好看, 可让  $\frac{2}{3}$  变成 1. RP

$$\text{令 } Q_{\alpha\beta} = \frac{3}{2} T_{\alpha\beta}' = \left\langle \frac{3}{2} l_{\alpha} l_{\beta} - \frac{1}{2} \delta_{\alpha\beta} \right\rangle$$

$$\hookrightarrow \begin{cases} Q_{\alpha\beta} = 0 & \text{在各向同性相} \\ Q_{\alpha\beta} = \begin{pmatrix} -\frac{1}{2} & 0 & 0 \\ 0 & -\frac{1}{2} & 0 \\ 0 & 0 & 1 \end{pmatrix} & \text{在完美取向相} \end{cases}$$

$Q_{\alpha\beta}$  有两个重要性质: ①  $Q_{\alpha\beta} = Q_{\beta\alpha}$ , 对称 ②  $\text{Tr}(Q) = Q_{\alpha\alpha} = 0$

对部分有序如何处理:

设液晶总体沿 z 轴取向, 则  $\mathbf{l} = (\overset{l_x}{\sin\theta\cos\phi}, \overset{l_y}{\sin\theta\sin\phi}, \overset{l_z}{\cos\theta})$  球坐标下

$|\mathbf{l}| = 1$   
 $0 \leq \theta \leq \pi$   
 $0 \leq \phi \leq 2\pi$



方位角分布  $\langle \cos\phi \rangle = \langle \sin\phi \rangle = \langle \cos 2\phi \rangle = \langle \sin 2\phi \rangle = 0$

$$\langle \cos^2\phi \rangle = \langle \sin^2\phi \rangle = \frac{1}{2}, \quad \langle \cos^2\phi \rangle = \int_0^{2\pi} \cos^2\phi d\phi =$$

因此  $Q_{zz} = \left\langle \frac{3}{2} \cos^2\theta - \frac{1}{2} \right\rangle = \langle P_2(\cos\theta) \rangle$ ,  $P_2(x) = \frac{3}{2}x^2 - 1$  —— 第二勒让德多项式

$\langle P_2(\cos\theta) \rangle$  称为向列相的序参量  $S = \langle P_2(\cos\theta) \rangle = \left\langle \frac{3}{2} \cos^2\theta - \frac{1}{2} \right\rangle$



向列顺序分量如下:

(3)

$$Q_{xx} = \left\langle \frac{3}{2} \sin^2 \theta \cos^2 \phi - \frac{1}{2} \right\rangle = \left\langle \frac{3}{4} \sin^2 \theta - \frac{1}{2} \right\rangle = -\frac{S}{2}$$

$$Q_{yy} = \left\langle \frac{3}{2} \sin^2 \theta \sin^2 \phi - \frac{1}{2} \right\rangle = \left\langle \frac{3}{4} \sin^2 \theta - \frac{1}{2} \right\rangle = -\frac{S}{2}$$

$$Q_{xy} = Q_{yx} = \left\langle \frac{3}{2} \sin^2 \theta \cos \phi \sin \phi \right\rangle = \left\langle \frac{3}{4} \sin^2 \theta \cos 2\phi \right\rangle = 0$$

$$Q_{xz} = Q_{zx} = \left\langle \frac{3}{2} \cos \theta \sin \theta \cos \phi \right\rangle = 0$$

$$Q_{yz} = Q_{zy} = \left\langle \frac{3}{2} \cos \theta \sin \theta \sin \phi \right\rangle = 0$$

因此  $Q_{\alpha\beta} = \begin{pmatrix} -\frac{S}{2} & 0 & 0 \\ 0 & -\frac{S}{2} & 0 \\ 0 & 0 & S \end{pmatrix} \rightarrow$  沿着 z 轴部分有序。  
 $\begin{pmatrix} -S & & \\ & S & \\ & & -S \end{pmatrix} \rightarrow$  沿 y 轴有序。

如果沿着任意轴  $\hat{n}$  而不是 z 轴, 则如何?

对 z 轴取向有序可写成  $Q_{\alpha\beta} = S \cdot \left[ \frac{3}{2} \begin{pmatrix} 0 & & \\ & 0 & \\ & & 1 \end{pmatrix} - \frac{1}{2} \begin{pmatrix} 1 & & \\ & 1 & \\ & & 1 \end{pmatrix} \right]$   
 $= S \left[ \frac{3}{2} z_\alpha z_\beta - \frac{1}{2} \delta_{\alpha\beta} \right]$

类似地, 对任意方向  $\hat{n}$ , 可写成

$$Q_{\alpha\beta} = S \left[ \frac{3}{2} n_\alpha n_\beta - \frac{1}{2} \delta_{\alpha\beta} \right]$$



沿着任一方向  $\hat{n}$  (单位量), 向列相的序参量为

[记得 nematic 相为单轴相] 所以  $Q_{\alpha\beta}$  包含更多的信息

$$Q_{\alpha\beta} = S \left[ \frac{3}{2} n_{\alpha} n_{\beta} - \frac{1}{2} \delta_{\alpha\beta} \right], \quad S = \langle P_2 \cos \theta \rangle, \quad \theta \text{ 是 } \hat{n} \text{ 与 } \hat{z} \text{ 的夹角.}$$

序参量有几个重要含义:

① 前置因子  $S$  - 标度序参量, 描述了向列相有序度的大小, 它表明分子排列得多么有序.

$S=0$ : 则没有任何取向; 各向同性  
 $S=1$ : 完全取向; 理想向列相  
通常  $0 < S < 1$ : 部分向列相有序

$S$  类似于 Ising 模型中的磁矩大小  $M$ , (它表明自旋的取向度到底如何)

②  $\left[ \frac{3}{2} n_{\alpha} n_{\beta} - \frac{1}{2} \delta_{\alpha\beta} \right]$  - 描述了向列相有序的方向, 它内含在  $Q_{\alpha\beta}$  张量内以一种复杂的方式

单位量  $\hat{n}$  称为向列 ~~相~~ 指向 (nematic director), 类似于 Ising 模型中序参量的正负号. (↑或↓)

$\hat{n}$  代表了向列有序的主轴. (一般地说它是分子的平均取向, 但该说法不准确)

$Q_{\alpha\beta}$  在  $\hat{n}$  方向为偶数性的, 即  $+n$  与  $-n$  完全一样.

液晶科学中, 10% 的内容关注于控制有序的数量大小. (主要通过温度或浓度控制)  
90% 的内容在控制有序的方向. (如电场, 磁场, 剪切流, 表面锚定...)

通常  $Q_{\alpha\beta}$  有复杂形式, 如何由  $Q_{\alpha\beta}$  来确定  $S$  和  $\hat{n}$ ?

显然,  $Q_{\alpha\beta}$  的本征值 ~~为~~ 分为  $S, -S/2, +S/2$ . 相应  $\Rightarrow$  本征矢的方向为  $\hat{n}$  与  $\hat{n}_{\perp}$  方向. ↗ 对应  $S$  的本征

$Q_{\alpha\beta}$  的迹为 0, 所以它是自洽的. 可以证明  $\hat{n}$  是  $Q$  的本征值即  $Q \cdot \hat{n} = S \hat{n}$

$$(Q \cdot \hat{n})_{\alpha} = Q_{\alpha\beta} n_{\beta} = S \left[ \frac{3}{2} n_{\alpha} n_{\beta} - \frac{1}{2} \delta_{\alpha\beta} \right] n_{\beta} = S \left[ \frac{3}{2} n_{\alpha} n_{\beta} n_{\beta} - \frac{1}{2} n_{\alpha} \right] = S \left[ \frac{3}{2} n_{\alpha} - \frac{1}{2} n_{\alpha} \right] = S n_{\alpha}$$

$Q_{\alpha\beta}$  为对称的无迹张量, 故只有  $9-3-1=5$  个独立变量. 一个为  $S$ , 两个为  $\hat{n}$  方向 (如  $\theta, \phi$ ). 另外两个与双轴向列相有关.



# A. isotropic - Nematic 相变理论

宏观理论: Landau - de Gennes 理论. (可证明-大量问题, 但不针对特定体系)

微观理论: (可证明特定体系行为)

- Mayer-Saupe 理论
- Onsager 理论

## Landau - de Gennes 理论:

自由能密度可展开为序参量  $Q_{\alpha\beta}$  的函数, 由于  $Q_{\alpha\alpha} = \sum_{i=1,2,3} Q_{ii} = 0$  (无迹张量), 故不存在一级项.

$$f = \frac{F}{V} = f_0 + a Q_{\alpha\beta} Q_{\alpha\beta} + c Q_{\alpha\beta} Q_{\gamma\delta} Q_{\gamma\delta} + b_1 (Q_{\alpha\beta} Q_{\alpha\beta})^2 + b_2 Q_{\alpha\beta} Q_{\gamma\delta} Q_{\gamma\delta} Q_{\alpha\alpha} + \dots$$

可以证明  $Q_{\alpha\beta} Q_{\alpha\beta} = S^2 \left[ \frac{3}{2} n_\alpha n_\beta - \frac{1}{2} \delta_{\alpha\beta} \right] \left[ \frac{3}{2} n_\alpha n_\beta - \frac{1}{2} \delta_{\alpha\beta} \right] = \dots = S^2 \left( \frac{9}{4} - \frac{3}{2} + \frac{3}{4} \right) = \frac{3}{2} S^2$

( $n_{\alpha\alpha} = 1$ )

$$Q_{\alpha\beta} Q_{\gamma\delta} Q_{\gamma\delta} = \frac{3}{4} S^3, \quad (Q_{\alpha\beta} Q_{\alpha\beta})^2 = \frac{9}{4} S^4, \quad (Q_{\alpha\beta} Q_{\gamma\delta} Q_{\gamma\delta} Q_{\alpha\alpha}) = \frac{9}{8} S^4$$

$$\Rightarrow f = f_0 + A S^2 + C S^3 + B S^4 + \dots$$

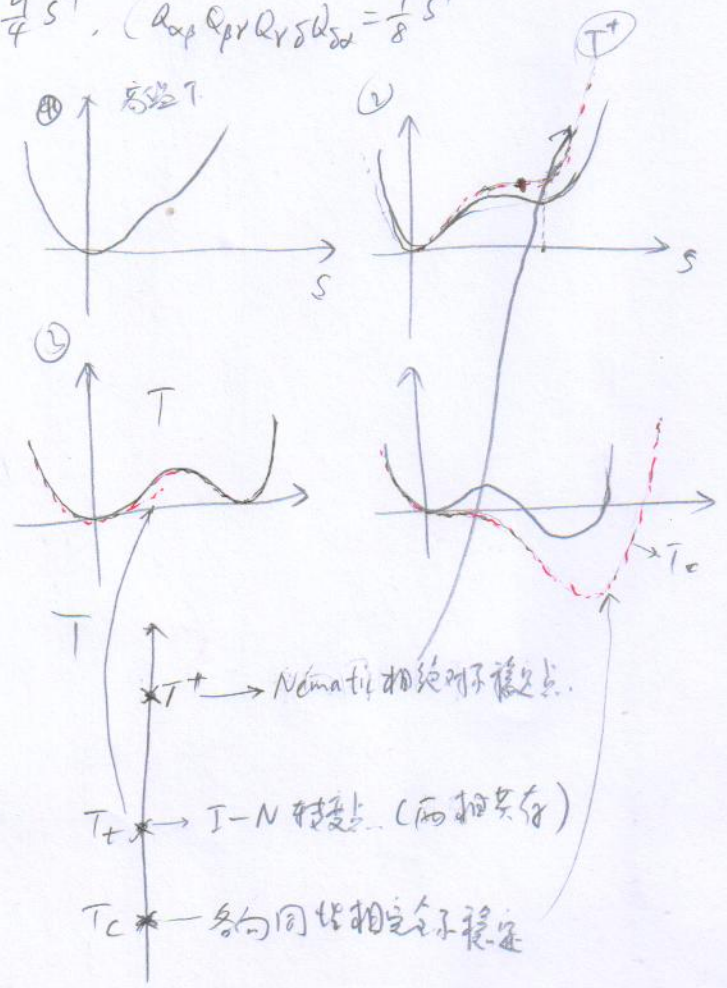
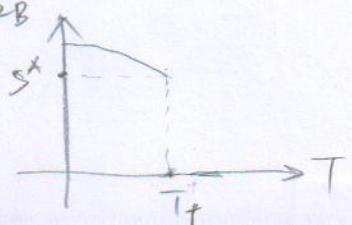
由  $\frac{df}{dS} = 0 \Rightarrow S = 0$  or  $S = \frac{-3C \pm \sqrt{9C^2 - 32AB}}{8B}$

$$A = a(T - T_c)$$

$$T_c^+ = T_c + \frac{9c^2}{32aB} \quad (\sqrt{\text{内}} = 0)$$

$T_c = T_c + \frac{c^2}{4aB} < T_c^+$  (无序相与N相共存)  
 (系数为0, 有序相)

此时  $S^* = \frac{c}{2B}$





21 Maier-Sauepe 理论: 微观理论, 适用热致型液晶 I-N 转变

体系含  $N$  个分子, 每个分子与周围  $q$  个近邻分子相互作用.

考虑两个近邻分子,  $\hat{n}$  取向为  $\hat{m}$ ,  $\hat{n}$  为  $\hat{l}$ , 分子取向轴为  $\hat{l}$ , 则  $\langle \cos \psi \rangle = \hat{m} \cdot \hat{l}$

Maier-Sauepe 理论假设分子间相互作用能为

$$V_{int} = -J P_2(\cos \psi) = -J \left[ \frac{3}{2} \cos^2 \psi - \frac{1}{2} \right] = -J \left[ \frac{3}{2} (\hat{m} \cdot \hat{l})^2 - \frac{1}{2} \right]$$

原则上可用量子力学计算分子间偶极矩与诱导偶极矩的相互作用势, 给出上述形式.

$$\begin{aligned} \text{总相互作用能 } \langle E \rangle &= -\frac{1}{2} N q J \langle P_2(\cos \psi) \rangle = -\frac{1}{2} N q J \left[ \frac{3}{2} \langle (\hat{l} \cdot \hat{m})^2 \rangle - \frac{1}{2} \right] \\ &= -\frac{1}{2} N q J \left[ \frac{3}{2} \langle l_x m_x l_y m_y \rangle - \frac{1}{2} \right] \end{aligned}$$

平均场假设: 分子取向沿各轴相等, 即  $\langle l_\alpha l_\beta m_\alpha m_\beta \rangle \approx \langle l_\alpha l_\beta \rangle \langle m_\alpha m_\beta \rangle$

$$Q_{\alpha\beta} = \frac{3}{2} \langle l_\alpha l_\beta \rangle - \frac{1}{2} \delta_{\alpha\beta} = \frac{3}{2} \langle m_\alpha m_\beta \rangle - \frac{1}{2} \delta_{\alpha\beta}$$

$$\langle l_\alpha l_\beta \rangle = \langle m_\alpha m_\beta \rangle = \frac{2}{3} Q_{\alpha\beta} + \frac{1}{3} \delta_{\alpha\beta}$$

$$\begin{aligned} \Rightarrow \langle E \rangle &= -\frac{1}{2} N q J \left[ \frac{3}{2} \left( \frac{2}{3} Q_{\alpha\beta} + \frac{1}{3} \delta_{\alpha\beta} \right) \left( \frac{2}{3} Q_{\alpha\beta} + \frac{1}{3} \delta_{\alpha\beta} \right) - \frac{1}{2} \right] \\ &= -\frac{1}{2} N q J \left[ \frac{3}{2} \left( \frac{4}{9} Q_{\alpha\beta} Q_{\alpha\beta} + \frac{1}{3} \right) - \frac{1}{2} \right] = -\frac{1}{3} N q J Q_{\alpha\beta} Q_{\alpha\beta} \\ &= -\frac{1}{2} N q J S^2 \end{aligned}$$

$f(\theta, \phi)$  - 取向分布函数

取向分布:  $-T S_{entropy} = N k_B T \int d\Omega \overset{\text{立体角}}{f(\Omega)} \ln f(\Omega) = N k_B T \int_0^\pi \sin \theta d\theta \int_0^{2\pi} d\phi f(\theta, \phi) \ln f(\theta, \phi)$

$$F = \langle E \rangle - T S_{entropy} = -\frac{1}{2} N q J S^2 + N k_B T \int_0^\pi \sin \theta d\theta \int_0^{2\pi} d\phi f(\theta, \phi) \ln f(\theta, \phi)$$

$$S = \langle P_2(\cos \theta) \rangle = \int_0^\pi \sin \theta d\theta \int_0^{2\pi} d\phi P_2(\cos \theta) f(\theta, \phi)$$



寻找分布  $f(\theta, \phi)$ , 使得  $F$  有最小值, 加上限制  $S$ .

不作副本

Euler-Lagrange 方程: 
$$\frac{\delta F}{\delta f(\theta, \phi)} = \lambda \frac{\delta (PB_{rel})}{\delta f(\theta, \phi)}$$

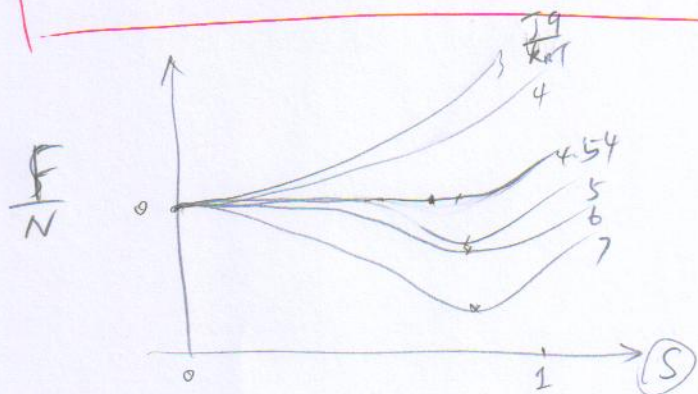
$$\Rightarrow -NqJ P_2(\cos\theta) + Nk_B T [1 + \ln f(\theta, \phi)] = \lambda$$

$$\Rightarrow f(\theta, \phi) = \frac{\exp\left[\frac{Jq}{k_B T} S P_2(\cos\theta)\right]}{2\pi \int_0^\pi \sin\theta d\theta \exp\left[\frac{Jq}{k_B T} S P_2(\cos\theta)\right]}$$

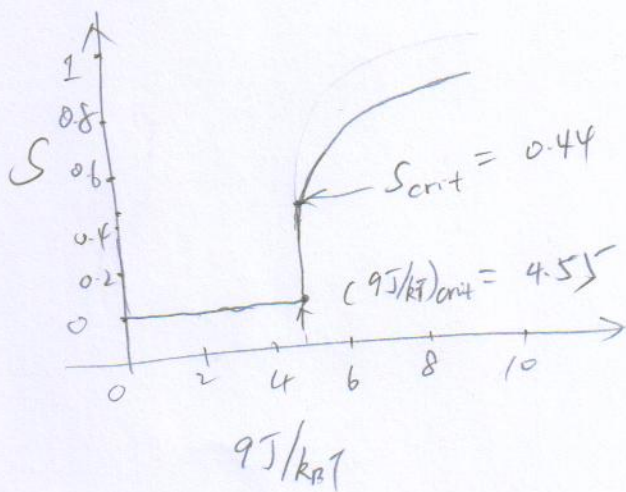
而  $S$  由  $f(\theta, \phi)$  确定.

计算过程: 给定  $S$ , 可确定分布  $f(\theta, \phi)$  (当然  $\frac{Jq}{k_B T}$  也要给定).

然后计算取向熵  $-TS_{entropy}$  和  $F$ , 绘出  $F$  与  $S$  的函数



对每条曲线 ( $qJ$  一定), 求最小值即该参数下的平衡序参量值.  
可绘出序参量  $S$  的关系



白区-灰相变,  
所以发生  $T \rightarrow T_c$  转变点的临界

相互作用  $\left(\frac{qJ}{k_B T}\right)_{crit} = 4.55$

而这时  $S_{crit} = 0.44$



C.1

②

(四) 12: 理想气体的熵为

$$S_{ideal} = k_B \ln \left( a \frac{V}{N} \right)$$

如果每个分子有一个<sup>有效</sup>体积  $b$ , 则可得到的体积为  $V - Nb$ .

熵变为  $S = k_B \ln \left( a \frac{V - Nb}{N} \right)$

$$= k_B \ln \left[ \frac{aV}{N} \left( 1 - \frac{bN}{V} \right) \right]$$

$$= k_B \ln \frac{aV}{N} + k_B \ln \left( 1 - \frac{bN}{V} \right) \quad (\text{展开到一阶项, 当 } c \text{ 很小时可用})$$

$$= S_{ideal} - k_B \frac{bN}{V}$$

$$= S_{ideal} - k_B \left( \frac{N}{V} \right) b$$

$$\Rightarrow F = F_{ideal} + k_B T \left( \frac{N}{V} \right) b$$

$$= F_0 + k_B T \ln c + \underline{k_B T c b} \rightarrow \text{排除体积引起自由能增加}$$

要注意的是此处  $b$  为第二维里系数, 其值  $b = \frac{1}{2} V_{excluded}$ , <sup>即</sup>是球体积的一半.

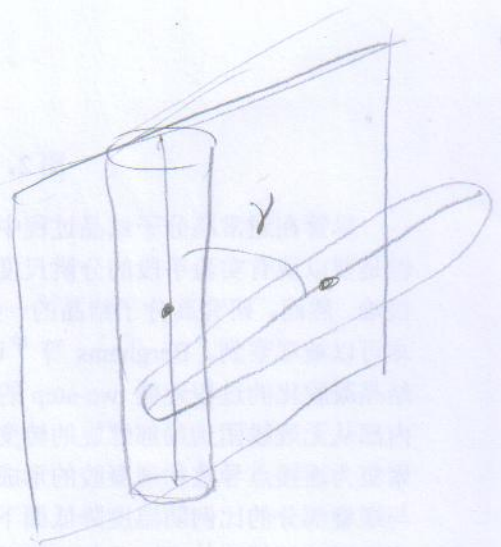
另外, 对  $n$  个球  $V_{excluded} = \frac{4}{3} \pi d^3$ ,  $d$  为球的直径



C2 理想硬粒的 Onsager 理论

两种竞争因素: ① 圆柱取向角  $\theta$

② 两粒的排除体积  $V$  是取向角  $\theta$  的函数  
取向角增加, 排除体积减少.



两粒相互作用:

$$V_{ij} = \begin{cases} 0 & \text{不重叠} \\ \infty & \text{重叠} \end{cases}$$

考虑圆柱长为  $L$ , 直径为  $D$ , 其有效排除体积 (相对另一圆柱质心, 不能到达的空间)  
体心圆柱浓度为  $C$  (单位体积内粒子数目) =  $N/V$

$$V_{\text{excluded}} = 2D \cdot L \cdot L |\sin \theta| \quad (\text{来源于两个柱直径})$$

$$\text{总自由能 } F = F_0 + k_B T \left( \ln C + \int f(\theta) \ln f(\theta) d\theta \right) + \frac{C \langle V_{\text{excluded}} \rangle}{2}$$

$$= F_0 + k_B T \left( \underbrace{\ln C}_{\text{平均}} + \underbrace{\int f(\theta) \ln f(\theta) d\theta}_{\text{取向}} + \underbrace{L^2 D C P[f(\theta)]}_{\text{排除体积}} \right)$$

其中  $P[f(\theta)] = \langle | \sin \theta | \rangle \Rightarrow L^2 D C P[f(\theta)]$  — 每个粒子的平均排除体积  
 $= \iint f(\theta) f(\theta') | \sin \theta | d\theta d\theta'$

重写圆柱的体积分数  $\phi = C \frac{\pi}{4} L D^2$

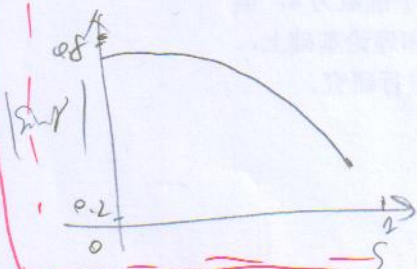
$$\Rightarrow F = F_0 + k_B T \left[ \ln \left( \frac{\phi}{\pi} \right) + \int f(\theta) \ln f(\theta) d\theta + \frac{4}{\pi} \frac{L}{D} \phi P[f(\theta)] \right]$$

求合适的  $f(\theta)$  使得  $F$  最小 (变分问题)

可用更为简单的试探函数  $f(\theta) = \frac{\alpha}{4\pi} \frac{\cosh(\alpha \theta)}{\sinh \alpha}$ , 给定  $\alpha$  则  $S$  可定,  $| \sin \theta |$  也可定.

改变  $\alpha$  可得  $S$  与  $| \sin \theta |$ , 及自由能  $F$

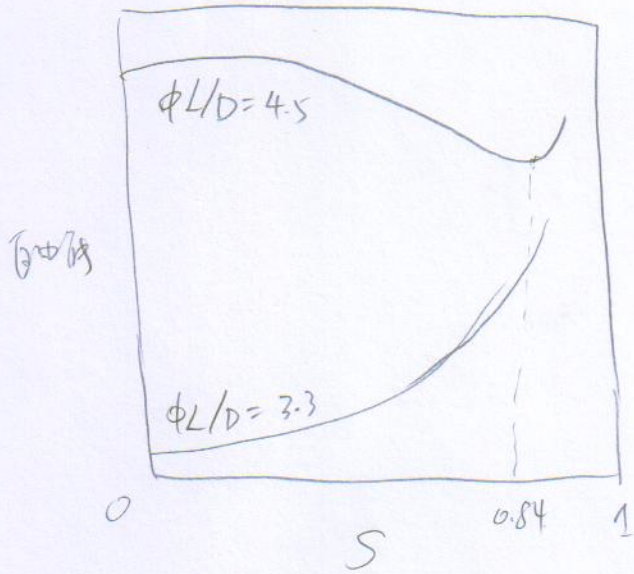
让  $F$  对  $\alpha$  (实际为  $S$ ) 求最小可得相同



(此部分不要求求解)



C3

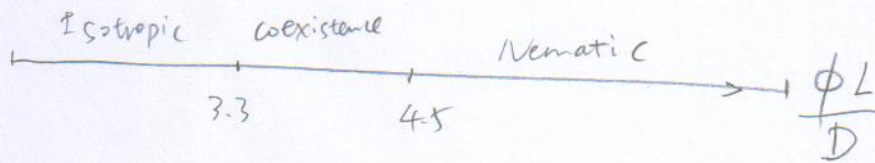


对  $\frac{\phi L}{D} \leq 3.3$ , 最低值是  $S=0$

对  $\frac{\phi L}{D} \geq 4.5$ , 最低值是  $S$  为一有限值

$3.3 < \frac{\phi L}{D} < 4.5$ , 两相共存

且在 Nematic 相中,  $S=0.84$



aspect ratio =  $\frac{L}{D}$

为出现 nematic 相, 需要加细粒子的



(11)

$$\nabla \times \vec{A} = \begin{vmatrix} \hat{i} & \hat{j} & \hat{k} \\ \frac{\partial}{\partial x} & \frac{\partial}{\partial y} & \frac{\partial}{\partial z} \\ A_x & A_y & A_z \end{vmatrix} = \hat{i} \left( \frac{\partial A_z}{\partial y} - \frac{\partial A_y}{\partial z} \right) + \hat{j} \left( \frac{\partial A_x}{\partial z} - \frac{\partial A_z}{\partial x} \right) + \hat{k} \left( \frac{\partial A_y}{\partial x} - \frac{\partial A_x}{\partial y} \right)$$

(  $n_x=0, n_y=\sin\theta, n_z=\cos\theta$  )

$$\vec{n} \cdot (\nabla \times \vec{A}) = n_x \left( \frac{\partial A_z}{\partial y} - \frac{\partial A_y}{\partial z} \right) + n_y \left( \frac{\partial A_x}{\partial z} - \frac{\partial A_z}{\partial x} \right) + n_z \left( \frac{\partial A_y}{\partial x} - \frac{\partial A_x}{\partial y} \right)$$

$$\Rightarrow \vec{n} \cdot (\nabla \times \vec{A}) = 0 + \sin\theta \cdot \left( \sin\theta \cdot \frac{\partial 0}{\partial x} \right) + \cos\theta \cos\theta \frac{\partial 0}{\partial x}$$

$$= \frac{\partial^2 0}{\partial x^2}$$

液晶弹性:

$$F = \int d^3r \left\{ \frac{1}{2} k_1 (\nabla \cdot \hat{n})^2 + \frac{1}{2} k_2 [\hat{n} \cdot (\nabla \times \hat{n})]^2 + \frac{1}{2} k_3 [\hat{n} \times (\nabla \times \hat{n})]^2 \right\}$$

Splay      Twist      Bend

$k_1, k_2, k_3$  - Frank 常数, 有  $\frac{\text{能量}}{\text{长度}}$  量纲。  
大部分液晶中, 它们均为  $10^{-11} \text{ N}$ 。

Frederiks 转变: (液晶显示器)

$$\hat{n}(x) = (0, \sin\theta(x), \cos\theta(x))$$

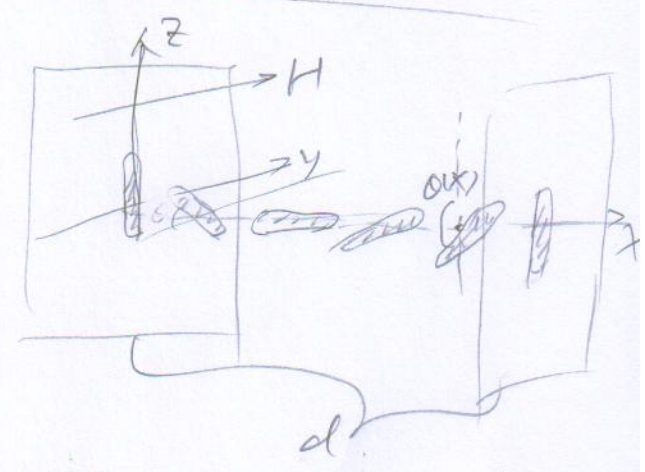
$$\theta(0) = \theta(d) = 0$$

$$F_{\text{Frank}} = A \int dx \left[ \frac{1}{2} k_2 \left( \frac{d\theta}{dx} \right)^2 \right]$$

$$F_{\text{magnetic}} = A \int dx \left[ -\frac{1}{2} \frac{\Delta X}{\mu_0} (\hat{H} \cdot \hat{n}(x))^2 \right]$$

$$= A \int dx \left[ -\frac{1}{2} \frac{\Delta X}{\mu_0} H^2 \sin^2\theta(x) \right]$$

$H$  为外加磁场



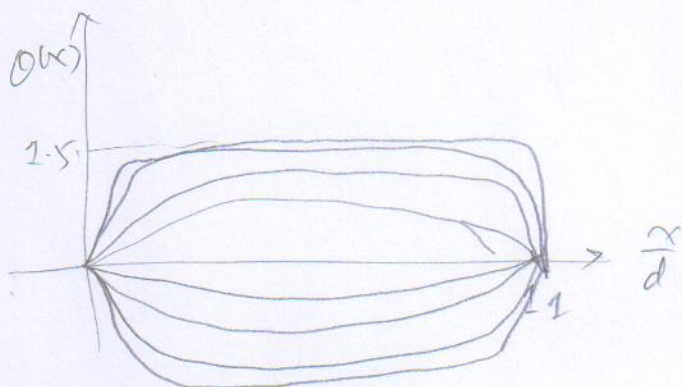
$$\Rightarrow F = F_{\text{Frank}} + F_{\text{magnetic}} \Rightarrow \frac{\delta F}{\delta \theta(x)} = -A \left[ k_2 \frac{d^2\theta}{dx^2} + \frac{\Delta X}{\mu_0} H^2 \sin\theta(x) \cos\theta(x) \right] = 0$$

$$\Rightarrow \frac{d^2\theta}{dx^2} = -\frac{1}{\xi} \sin\theta(x) \cos\theta(x), \quad \xi = \frac{1}{k_2} \sqrt{\frac{k_2 \mu_0}{\Delta X}}$$

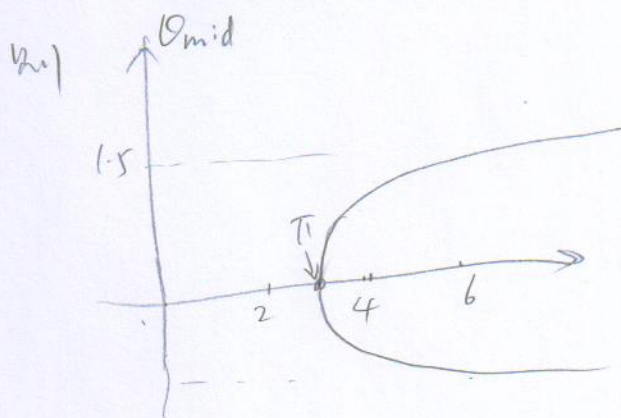


结合边界条件可作数值解:

对不同的  $\frac{d}{\xi}$  值 = 3.2, 3.3, 3.4, 3.6, 4.5, 7.10, 20



$O_{mid} = O(d/2)$



$\frac{d}{\xi} = \frac{\pi H}{H_c}$

存在临界值, 低于它,  $O_{mid} = 0$ , 取向不变.

只有当大于该值时发生 Frederiks 转变. 转变点可通过狄利克雷条件得到.

靠近临界值  $O(x) \approx O_{mid} \cdot \sin \frac{\pi x}{d}$ , 且  $O_{mid} \ll 1$ .

代入自由能方程且积分, 再展开为  $O_{mid}$  的级数.

即  $F = \frac{\pi^2 k_2}{4d} O_{mid}^2 - \frac{d \Delta X H^2}{4\mu_0} [1 - J_0(2O_{mid})]$

$\approx \frac{k_2}{4d} (\pi^2 - \frac{d^2}{\xi^2}) O_{mid}^2 + \frac{d k_2}{16 \xi^2} O_{mid}^4 + \dots$

所以转变点发生在  $\frac{d}{\xi} = \pi \ll 1$ , 此时  $H_c = \frac{\pi}{d} \sqrt{\frac{k_2 \mu_0}{\Delta X}}$

对  $H < H_c$ , 有  $O_{mid} = 0$ .

$H$  大于  $H_c$ , 有  $O_{mid} = \pm \sqrt{2(1 - \frac{\pi^2 \xi^2}{d^2})} \propto \pm (H - H_c)^{1/2}$



# 液晶的缺陷:

液晶往往包含有点或线, 此处样品指向会不连续地改变.

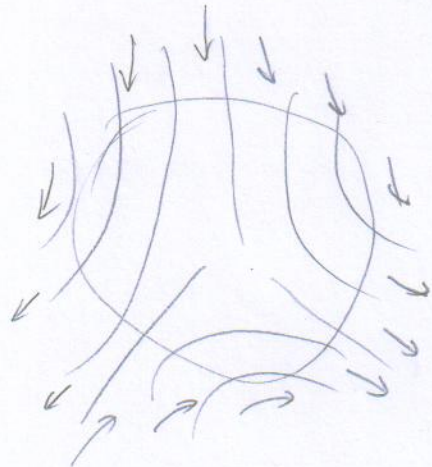
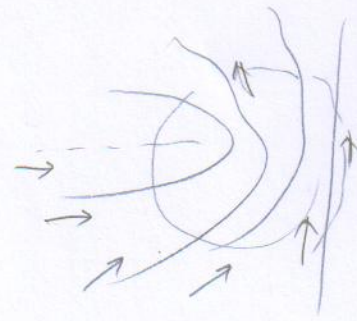
这些拓扑缺陷叫旋转位错 (disclination)

两种重要的情形:

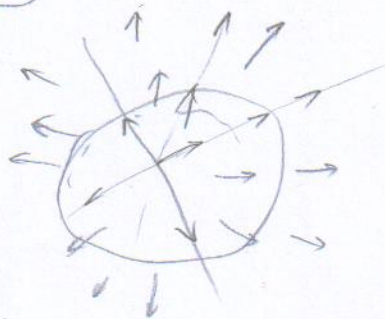
定义位错强度, 定义一个围绕缺陷的圆,

如果指向转一圈后变换为原角度, 且与圆同向, 则强度  $s = \frac{1}{2}$

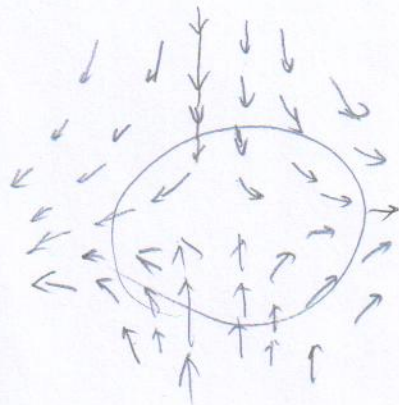
如果转动不, 但与圆方向反向, 则  $s = -\frac{1}{2}$ .



缺陷能量在  $k=k_1=k_2=k_3$  时有  $\frac{E}{L} = \pi k s^2 l$ .  $l$  为常数



这种情况  $s = +1$



这种情况  $s = -1$ .  
当时沿圆逆时针转一圈, 指向向量  
变为顺时针转动了  $2\pi$